

АНАЛИЗ СТАТИЧЕСКИХ ХАРАКТЕРИСТИК ЛИНИЙ СВЯЗИ С ШИРОТНО- И ЧАСТОТНО-ШИРОТНО-ИМПУЛЬСНЫМИ НОСИТЕЛЯМИ ИНФОРМАЦИИ

В.И. Абушаев, А.Ю. Шеин, О.Г. Терещина, М.М. Дудкин
г. Челябинск, ЮУрГУ

Одной из проблем в области управления промышленными объектами является помехоустойчивость систем сбора информации от первичных преобразователей (датчиков), которые зачастую удалены от управляющих устройств на значительное расстояние. Наиболее эффективными способами снижения влияния наводимых в линиях связи ЛС помех являются активные методы, основанные на применении импульсных носителей информации. Так в цифровых системах передачи данных на выходе ЛС включается дополнительный релейный элемент РЭ [1], обеспечивающий восстановление фронтов передаваемых импульсов и подавление помех, приводящих к амплитудной модуляции передаваемого сообщения. Подобный метод повышения помехоустойчивости ЛС оказывается достаточно эффективным также и при передаче аналоговой информации при условии, что ее носителем являются биполярные импульсы с широтно- (ШИМ) или частотно-широкто-импульсной (ЧШИМ) модуляцией [2], формируемые с помощью развертывающих преобразователей РП [3]. Однако многообразие принципов построения РП делает необходимым сравнительный анализ статической погрешности ЛС при передаче ШИМ- и ЧШИМ- сообщений с целью выявления закона модуляции, обеспечивающего минимальную величину статической и динамической ошибки восстановления информации с помощью релейного звена, включаемого на выходе ЛС.

Ниже дается сравнительный анализ метрологических характеристик ЛС с сосредоточенными параметрами при передаче ШИМ- и ЧШИМ- сигналов.

Рассматривались следующие источники статической ошибки службы:

- асимметрия зоны неоднозначности релейного элемента;
- асимметрия выходных импульсов и питающего напряжения релейного элемента.

При анализе были приняты следующие допущения (рис. 1 а):

- РП (датчик контролируемого параметра) является «идеальным» элементом, выходной сигнал которого дискретно меняется в пределах $\pm A$, имеет нулевое значение длительностей фронтов, а максимальное значение постоянного входного сигнала X_0 РП соответствует величине, при которой среднее значение импульсов $X_{\text{вх}}(t)$ на входе ЛС удовлетворяет условию $Y_0 \leq 0,8 \cdot |A|$;

- ЛС представляет собой линию с сосредоточенными параметрами с передаточной функцией вида $W(p) = 1/(1 + T_L p)$, где: T_L – постоянная времени, причем $T_L \leq 0,01 \cdot T_{0|X_0=0}$; $T_{0|X_0=0}$ – интервал дискретизации выходных импульсов РП при нулевом значении преобразуемого входного сигнала X_0 ;

- Один из порогов РЭ, включенный на выходе ЛС для восстановления параметров принимаемого импульсного сигнала (рис. 1 а), отличается от заданного значения b на величину Δb .

При прохождении сигнала $X_{\text{вх}}(t)$ через ЛС искажение фронтов импульсного потока $Y_{\text{вых}}(t)$ не вызывает на выходе РЭ изменение среднего значения координаты $Y_B(t)$, и приводит лишь к фазовому сдвигу между сигналами $X_{\text{вх}}(t)$ и $Y_B(t)$ на выходе источника и входе приемника информации (рис. 1 б). Несимметричность порогов переключения РЭ влечет за собой появление приращений $\Delta t_1 \neq \Delta t_2 \neq \Delta t_3 \neq \dots$ интервалов времени t_1, t_2 формирования импульсов положительной и отрицательной полярности и, в конечном итоге, приводит к тому, что реальное среднее значение Y_0^* выходных импульсов РЭ за интервал дискретизации T_0^* отличается от заданного значения Y_0 (рис. 1 в, г).

Модуляционная и амплитудная характеристики ЛС с восстанавливющим РЭ описываются системой трансцендентных уравнений в рекуррентной форме, приведенной на рис. 1. Здесь приняты следующие обозначения: $\alpha = |X_0/A|$ – нормированная величина входного сигнала РП, коэффициент передачи которого принимается равным 1,0; $\bar{b}_1 = b_1/A$ – относительное значение порога переключения РЭ; $\Delta \bar{b}_1 = \Delta b_1/b_1$ – относительное значение ошибки порога переключения РЭ; $Y_0^*[n]$ – среднее значение выходных импульсов $Y_B(t)$ РЭ по окончанию очередного интервала их дискретизации $T_{0,n}^*$; Δt_i – приращения длительностей выходных импульсов РЭ в результате амплитудной модуляции носителя $Y_{\text{вых}}(t)$ сигналом помехи $X_{\text{п}}(t)$.

Электромеханика

Анализ ЛС проводился для базовых законов модуляции (см. таблицу), получивших наибольшее

распространение в системах автоматического управления технологическими процессами. [5].

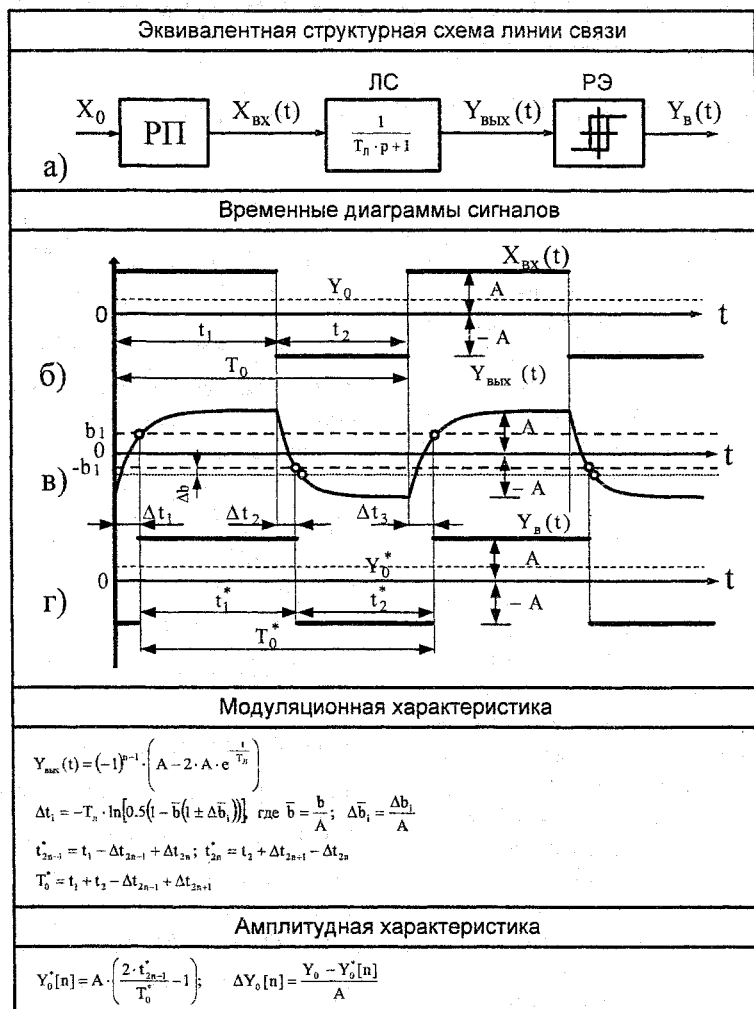


Рис. 1. Структурная схема (а), временные диаграммы сигналов (б-г) линии связи с частотно- и частотно-широкотно-импульсными носителями информации при асимметрии порогов переключения

Таблица
Законы формирования интервалов дискретизации при широтно- и частотно-широкотно-импульсной модуляции

| Модуляция | Интервал преобразования $t_1 = f(\alpha)$ | Интервал преобразования $t_2 = f(\alpha)$ | Частота выходных импульсов $f_0(\alpha) = (t_1 + t_2)^{-1}$ | Нормированный закон модуляции $\bar{F} = \frac{f_0(\alpha)}{f_0 _{\alpha=0}}$ |
|-----------|--|--|--|--|
| ШИМ | $t_1 = T_\Theta(1+\alpha)$ | $t_2 = T_\Theta(1-\alpha)$ | $f_0(\alpha) = \frac{1}{2T_\Theta}$ | $\bar{F} = 1,0$ |
| | $t_1 = \frac{T_\Theta}{1-\alpha}$ | $t_2 = \frac{T_\Theta}{1+\alpha}$ | $f_0(\alpha) = \frac{1-\alpha^2}{2T_\Theta}$ | $\bar{F} = 1-\alpha^2$ |
| ЧШИМ | $t_1 = T_\Theta$ | $t_2 = T_\Theta \frac{1-\alpha}{1+\alpha}$ | $f_0(\alpha) = \frac{1+\alpha}{2T_\Theta}$ | $\bar{F} = 1+\alpha$ |
| | $t_1 = T_\Theta \frac{1+\alpha}{1-\alpha}$ | $t_2 = T_\Theta$ | $f_0(\alpha) = \frac{1-\alpha}{2T_\Theta}$ | $\bar{F} = 1-\alpha$ |

где: T_Θ – эквивалентная постоянная времени, учитывающая параметры РП

На рис. 2 представлены пространства статического состояния $Y_0[1] = f(\alpha, \Delta\bar{b}, T_{\text{д}} = 10^{-2})$ и их проекции на плоскость переменных $(\alpha, \Delta\bar{b})$, полученные путем решения системы уравнений для первого интервала дискретизации выходных импульсов РЭ, приведенных на рис. 1 г.

Анализ приведенных характеристик позволяет сделать следующие основные выводы:

- Величина погрешности зависит от закона модуляции передаваемого по ЛС сигнала $X_{\text{вх}}(t)$. Так, например, при ШИМ ошибка выходного сигнала прямо пропорционально отклонению порогов РЭ (рис. 2 в). Для ЛС с ЧШИМ отклонение порогов переключения РЭ представляет собой функцию сигнала управления α (частоты несущих колебаний РП). При этом для $\bar{F} = 1 - \alpha^2$ (рис. 2 а) и $\bar{F} = 1 - \alpha$ (рис. 2 б) ошибки сигнала с ростом $\Delta\bar{b}$ примерно равны, но меньше чем при $\bar{F} = 1 + \alpha$ (рис. 2 г) в два раза, что делает данный вид модуляции менее выгодным с позиций помехоустойчивости ЛС по сравнению с предыдущими частотно-широкто-импульсными носителями.

- В рассматриваемых законах модуляции отклонение порогов на 25 % приводит к отклонению от среднего значения не более чем $3 \cdot 10^{-4}$. Из этого следует, что для данного типа линии связи из-

менение порогов переключения существенно не сказывается на среднем значении выходного сигнала передаваемых импульсов.

При асимметрии амплитуд на выходе РЭ (рис. 3 а) фазового сдвига между импульсами на выходе РП и импульсами на входе РЭ не происходит, но на выходе РЭ появляется ошибка среднего значения координаты Y_0^* (рис. 3 б, в)

Амплитудная характеристики ЛС с восстанавливающим РЭ описываются уравнением, приведенным на рис. 3. Здесь приняты следующие обозначения: ΔA_1 – отклонение верхнего значения амплитуды РЭ, ΔA_2 – отклонение нижнего значения амплитуды РЭ. Y_0^* – среднее значение выходных импульсов $Y_B(t)$ РЭ по окончанию очередного интервала их дискретизации $T_{0,n}$.

На рис. 4 представлены пространства статического состояния $Y_0[1] = f(\alpha, \Delta\bar{A}_1, \Delta\bar{A}_2 = 0)$ и их проекции на плоскость переменных $(\alpha, \Delta\bar{A}_1)$, полученные путем решения системы уравнений для первого интервала дискретизации выходных импульсов РЭ.

Как видно из приведенной на рис. 4 амплитудной характеристики, рассматриваемые законы модуляции никак не отражаются на величине ΔY_0 , а отклонение от среднего значения нанапрямую зависит от уровня отклонений амплитуд РЭ.

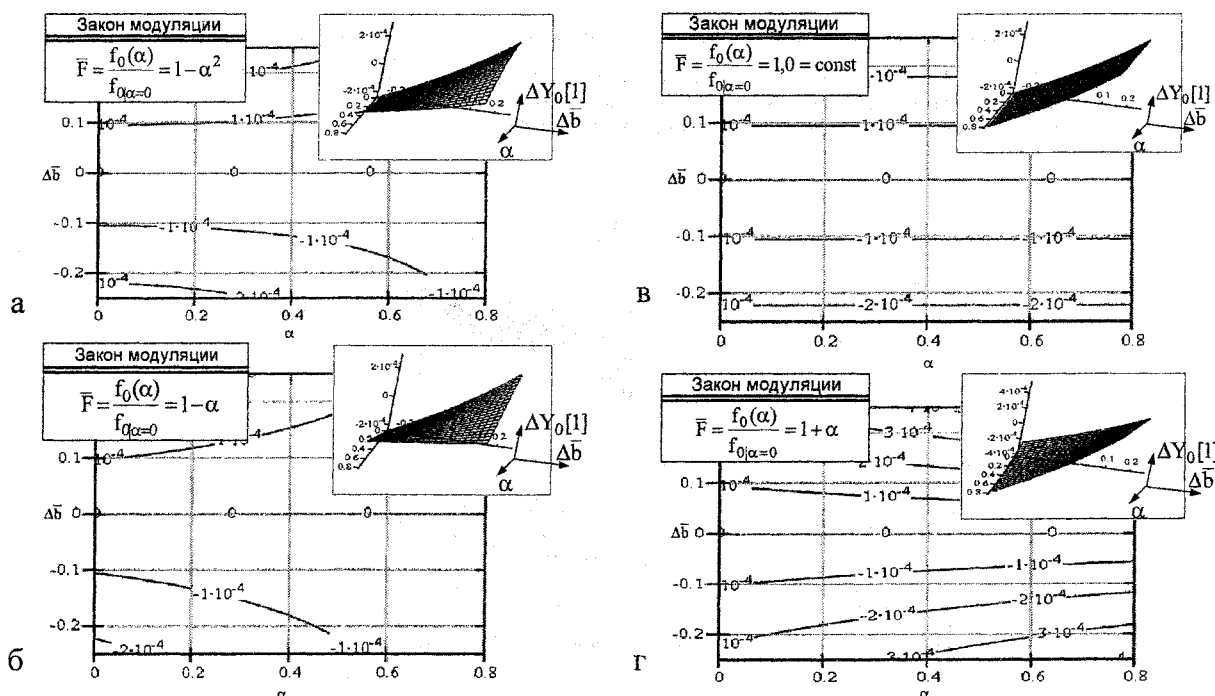


Рис. 2. Пространство статического состояния и его проекция на плоскость переменных $(\alpha, \Delta\bar{b})$
для линии связи с широтно-импульсным (а), частотно-широкто-импульсными $\bar{F} = 1 + \alpha$ (б),
 $\bar{F} = 1 - \alpha^2$ (в) и $\bar{F} = 1 - \alpha$ (г) носителями информации

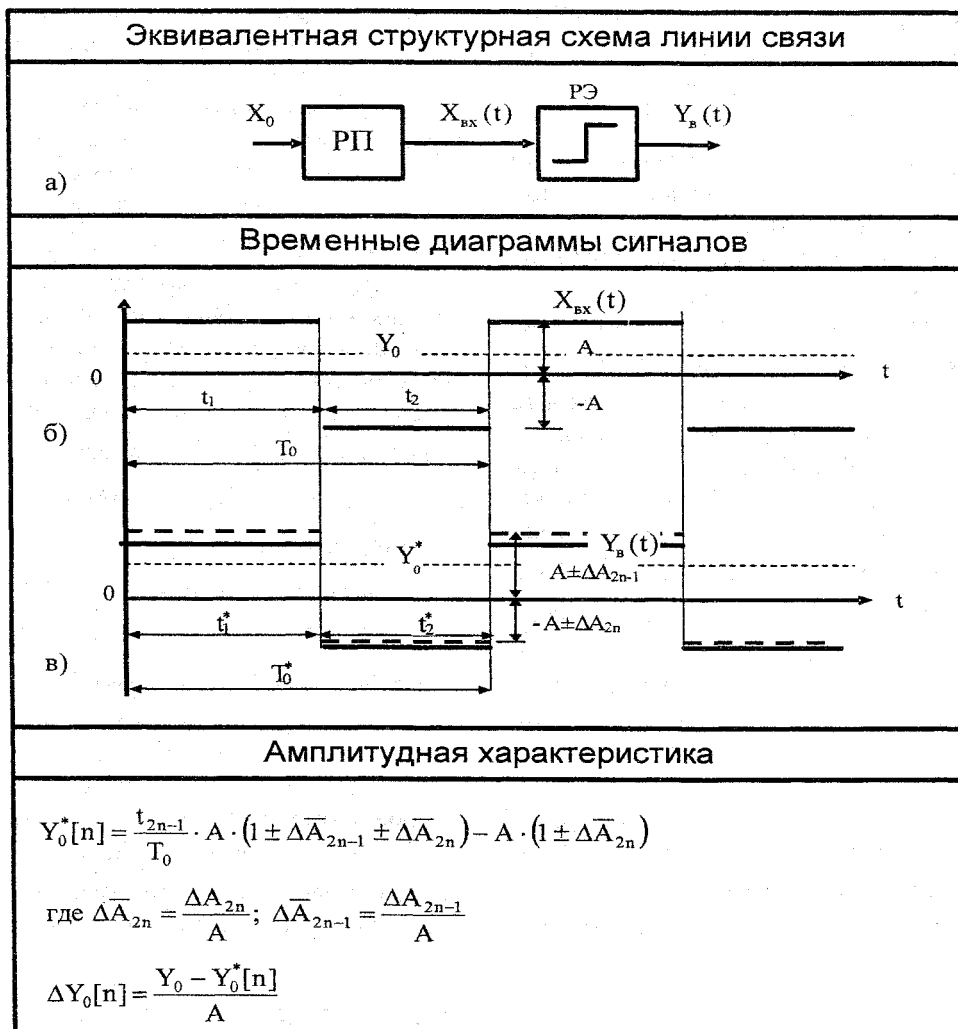


Рис. 3. Структурная схема (а), временные диаграммы сигналов (б, в) и расчетные соотношения к анализу статики линии связи с широтно- и частотно-широкто-импульсными носителями информации при асимметрии амплитуд РЭ

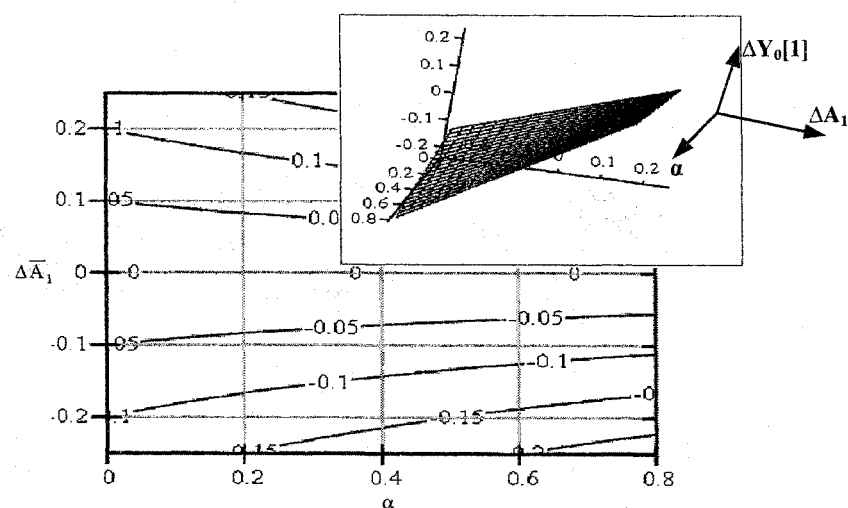


Рис. 4. Пространство статического состояния (а) и его проекция на плоскость переменных ($\alpha, \Delta \bar{A}_1$) (б) для линии связи с широтно- и частотно-широкто-импульсным носителями информации при асимметрии амплитуд РЭ

Литература

1. Павленко В.А. Электрические системы регулирования с сигналами связи постоянного тока. – М.: Энергия, 1971. – 456 с.
2. Осипов О.И. Техническое диагностирование автоматизированного электропривода постоянного тока: Дис. ... д-ра техн. наук. – Челябинск: ЧПИ, 1995. – 405 с.
3. Мартяшин А.И., Шахов Э.К., Шляндин В.М. Преобразователи электрических параметров для систем контроля и измерения. – М.: Энергия. – 1967. – 390 с.
4. Цыпкин Я.З., Попков Ю.С. Теория нелинейных импульсных систем. – М.: Наука, 1973. – 416 с.
5. Цытович Л.И. Развортывающие преобразователи для систем управления вентильными электроприводами и технологической автоматики: Дис. ... д-ра техн. наук. – Челябинск: ЧГТУ, 1996. – 465 с.
6. Цытович Л.И. Широтно-импульсный усилитель с регулируемыми динамическими характеристиками// Электронная техника в автоматике/ Под ред. Ю.И. Конева. – М.: Радио и связь, 1981. – № 12. – С. 267–273.

Абушаев Виталий Иосифович – ассистент кафедры электропривода и автоматизации промышленных установок Южно-Уральского государственного университета. Интересы: микропроцессорные устройства, систем передачи цифровых и аналоговых данных.

Шеин Артем Юрьевич – аспирант кафедры электропривода и автоматизации промышленных установок Южно-Уральского государственного университета. Интересы: элементы и устройства систем управления технологическими процессами, импульсные преобразователи аналоговой информации, системы импульсной связи.

Терещина Олеся Геннадьевна – аспирант кафедры электропривода и автоматизации промышленных установок Южно-Уральского государственного университета. Интересы: системы управления электроприводами центробежных механизмов, развертывающие преобразователи информации с многозонной частотно-широко-импульсной модуляцией, адаптивные фильтры, системы передачи логических данных по однопроводной линии связи.

Дудкин Максим Михайлович – аспирант кафедры электропривода и автоматизации промышленных установок Южно-Уральского государственного университета. Интересы: системы управления силовыми управляемыми преобразователями для автоматизированного электропривода, тиристорные регуляторы напряжения для плавного пуска асинхронных электроприводов, системы обмена цифровыми данными, датчики технологических параметров.